

Ćwiczenie nr 73

Wyznaczanie prędkości fali dźwiękowej w powietrzu metodą rury rezonansowej

1 Wstęp teoretyczny

1.1 Rodzaje fal i równanie falowe

Fale można podzielić na podłużne i poprzeczne, w zależności od kierunku drgań ośrodka względem kierunku rozchodzenia się fali. Fala dźwiękowa w powietrzu jest falą mechaniczną podłużną, polegającą na rozchodzeniu się zaburzeń gęstości i ciśnienia ośrodka (Szczeniowski, 1972). Ogólne równanie różniczkowe fali (równanie falowe) dla jednowymiarowego przypadku ma postać:

$$\frac{\partial^2 \Psi}{\partial x^2} = \frac{1}{v^2} \frac{\partial^2 \Psi}{\partial t^2} \quad (1)$$

gdzie $\Psi(x, t)$ reprezentuje zaburzenie (np. ciśnienie akustyczne), a v jest prędkością fazową fali.

1.2 Rezonans akustyczny i fala stojąca

Fala stojąca powstaje w wyniku interferencji dwóch fal o tej samej częstotliwości i amplitudzie, biegących w przeciwnie strony (Szydłowski, 1999). W rurze jednostronnie zamkniętej (rezonator ćwierćfalowy) na końcu zamkniętym powstaje węzeł przemieszczenia (strzałka ciśnienia), a na końcu otwartym strzałka przemieszczenia (węzeł ciśnienia). Warunek rezonansu dla takiej rury o długości L jest spełniony, gdy:

$$L = (2n - 1) \frac{\lambda}{4}, \quad \text{gdzie } n = 1, 2, 3, \dots \quad (2)$$

1.3 Prędkość dźwięku w powietrzu

Prędkość dźwięku w gazach zależy od ich właściwości termodynamicznych. Zgodnie z teorią kinetyczną gazów:

$$v = \sqrt{\frac{\kappa R T}{M}} \quad (3)$$

gdzie κ to wykładnik adiabaty (dla powietrza $\approx 1,4$), R to uniwersalna stała gazowa, T to temperatura bezwzględna, a M to masa molowa gazu (Moebs et al., 2018).

2 Opis doświadczenia

Układ pomiarowy zestawiono zgodnie ze schematem w instrukcji (ins, 2025), łącząc generator akustyczny z głośnikiem oraz układ detekcyjny składający się z mikrofonu, wzmacniacza i woltomierza. Pomiary przeprowadzono w dwóch etapach:

1. Dla częstotliwości 800 Hz zmierzono rozkład napięcia wzdłuż rury, przesuwając mikrofon co 1 cm, aby wyznaczyć kształt fali stojącej i zlokalizować węzły.
2. Dla częstotliwości 1 kHz, 1,5 kHz, 2 kHz oraz 2,5 kHz wyznaczono położenia strzałek i węzłów fali stojącej, szukając maksimów i minimów napięcia na woltomierzu.

3 Tabele pomiarowe

3.1 Rozkład napięcia wzdłuż rury ($f = 800 \text{ Hz}$)

Pomiary napięcia U w funkcji położenia mikrofonu x wykonano dla częstotliwości generatora ustawionej na 800 Hz.

Tabela 1: Wyniki pomiarów napięcia U w zależności od położenia mikrofonu x .

Położenie x [cm]	Napięcie U [V]
80	0,084
81	0,074
82	0,058
83	0,045
84	0,029
85	0,025
86	0,016
87	0,029
88	0,046
89	0,061
90	0,071

3.2 Położenia węzłów i strzałek dla wyższych częstotliwości

Dla częstotliwości w zakresie 1 kHz – 2,5 kHz odczytano położenia x , w których obserwowano ekstrema napięcia (węzły lub strzałki fali stojącej).

Tabela 2: Zmierzone położenia x kolejnych węzłów/strzałek dla różnych częstotliwości.

Częstotliwość f [Hz]	Odczytane położenia x [cm]
1000	87,5; 70,5; 53,0; 37,0
1500	90,0; 79,0; 67,5; 56,0; 44,0; 33,0
2000	92,0; 83,0; 75,0; 66,0; 57,5; 49,0; 40,0; 31,5
2500	85,0; 78,5; 72,0; 65,0; 58,0; 51,0; 44,0; 37,0; 30,0

4 Opracowanie wyników pomiarów

4.1 Badanie fali stojącej dla $f = 800 \text{ Hz}$

Sporządzono wykres zależności napięcia U od położenia mikrofonu x dla częstotliwości $f = 800 \text{ Hz}$, który przedstawiono w sekcji 7 (Rys. 1). Na wykresie zaznaczono teoretyczną skalę długości fali, ponieważ zakres ruchu mikrofonu był krótszy od pełnej długości fali λ .

4.2 Wyznaczenie prędkości dźwięku

Dla częstotliwości z zakresu $1 \text{ kHz} - 2,5 \text{ kHz}$ wyznaczono średnie odległości między węzłami Δx_{avg} . Długość fali obliczono jako $\lambda = 2 \cdot \Delta x_{avg}$. Prędkość fali obliczono ze wzoru $v = \lambda f$.

Przykładowe obliczenia (dla $f = 1000 \text{ Hz}$)

Korzystając ze średniej odległości między węzłami $\Delta x_{avg} \approx 0,1683 \text{ m}$:

$$\lambda = 2 \cdot 0,1683 \text{ m} = 0,3366 \text{ m} \approx 0,3367 \text{ m}$$

$$v \approx 0,3367 \text{ m} \cdot 1000 \text{ Hz} = 336,7 \text{ m s}^{-1}$$

Wyniki dla wszystkich częstotliwości przedstawiono w Tabeli 3.

Częstotliwość f [Hz]	Δx_{avg} [m]	λ [m]	v [m s^{-1}]
1000	0,1683	0,3367	336,7
1500	0,1140	0,2280	342,0
2000	0,0864	0,1729	345,7
2500	0,0688	0,1375	343,8

Tabela 3: Wyniki pomiarów długości fali i obliczone prędkości dźwięku.

Wartość średnia prędkości dźwięku obliczona dla $n = 4$ pomiarów:

$$v_{sr} = \frac{336,7 + 342,0 + 345,7 + 343,8}{4} \text{ m s}^{-1} = 342,0 \text{ m s}^{-1} \quad (4)$$

5 Ocena niepewności pomiaru

5.1 Niepewność standardowa pojedynczego pomiaru $u(x)$

Niepewność pomiaru położenia mikrofonu oszacowano metodą typu B ([onp, 2025](#)). Przyjęto niepewność maksymalną eksperymentatora $\Delta x = 0,5 \text{ cm}$. Zakładając rozkład jednostajny:

$$u(x) = \frac{\Delta x}{\sqrt{3}} = \frac{0,5}{\sqrt{3}} \approx 0,29 \text{ cm} \quad (5)$$

5.2 Niepewność złożona $u(v)$ i rozszerzona $U(v)$

Niepewność standardową $u(v)$ obliczono metodą typu A (odchylenie standardowe średniej) ([onp, 2025](#)). Podstawiając $v_{sr} = 342,0$:

$$\begin{aligned} u(v) &= \sqrt{\frac{1}{4(4-1)} [(336,7 - 342,0)^2 + \dots + (343,8 - 342,0)^2]} \\ &= \sqrt{\frac{45,02}{12}} \approx 1,936 \text{ m s}^{-1} \approx 1,9 \text{ m s}^{-1} \end{aligned}$$

Niepewność rozszerzoną $U(v)$ obliczono dla poziomu ufności 95% i $\nu = n - 1 = 3$ stopni swobody, przyjmując współczynnik rozszerzenia $k = 3,18$ ([onp, 2025](#)):

$$U(v) = k \cdot u(v) = 3,18 \cdot 1,936 \text{ m s}^{-1} \approx 6,15 \text{ m s}^{-1} \approx 6,2 \text{ m s}^{-1} \quad (6)$$

6 Wnioski

1. Wyznaczona metodą rury rezonansowej średnia prędkość dźwięku w powietrzu oraz jej niepewność standardowa wynoszą:

$$v = 342,0 \text{ m s}^{-1} \quad (7)$$

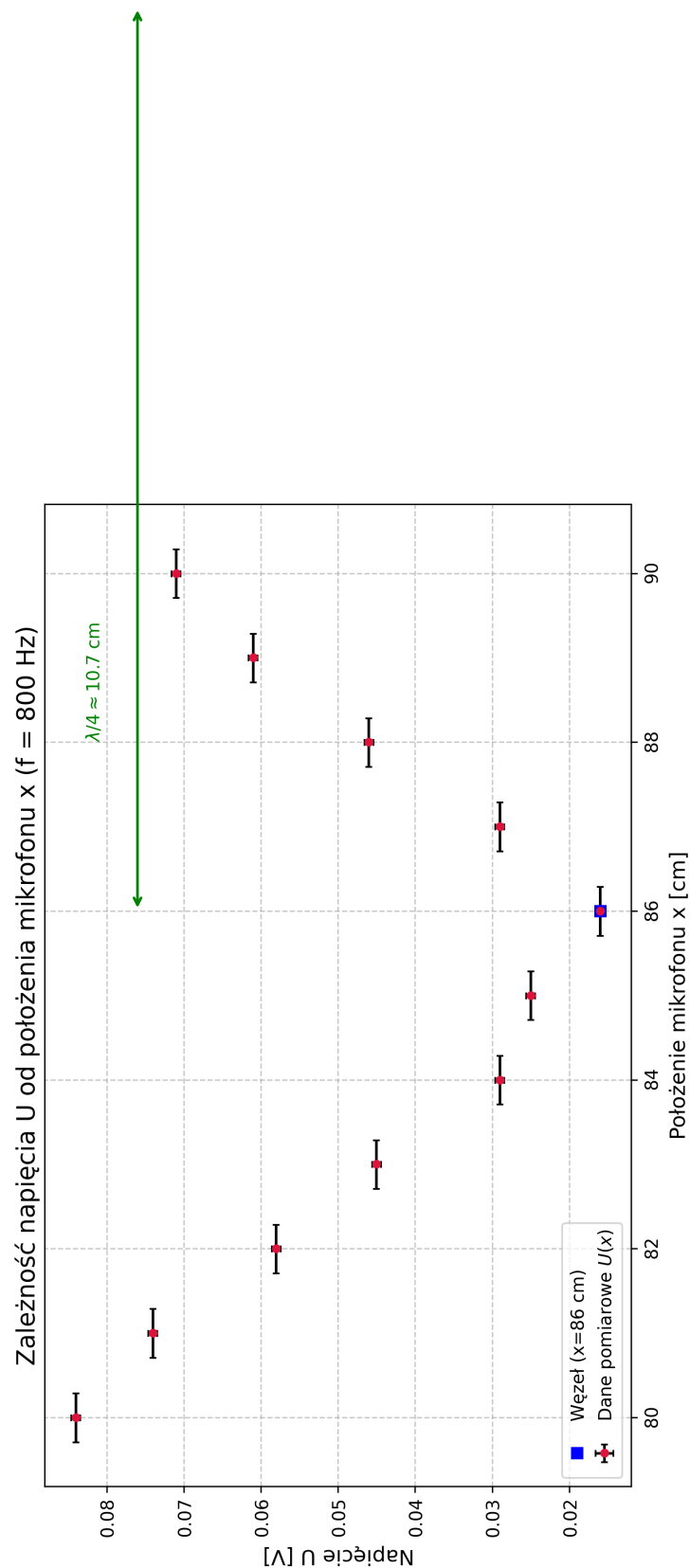
$$u(v) = 1,9 \text{ m s}^{-1} \quad (8)$$

2. Wartość teoretyczna dla $T = 293,15 \text{ K}$ wynosi $v_{teor} = 343,3 \text{ m s}^{-1}$ ([Moebs et al., 2018](#)).
3. Błąd względny pomiaru wynosi:

$$\delta = \frac{|342,0 - 343,3|}{343,3} \cdot 100\% \approx 0,36\%$$

Wynik eksperymentalny jest zgodny z wartością teoretyczną (różnica $|\Delta v| = 1,3 \text{ m s}^{-1}$ jest mniejsza od niepewności standardowej $u(v) \approx 1,9 \text{ m s}^{-1}$).

7 Wykresy



Rysunek 1: Zależność napięcia sygnału od położenia mikrofonu dla $f = 800$ Hz. Zaznaczono położenie węzła oraz skalę długości fali.

Literatura

(2025). *Instrukcja oceny niepewności pomiarów w I Pracowni Fizycznej (ONP)*. I Pracownia Fizyczna.

(2025). *Ćwiczenie 73: Wyznaczanie prędkości fali dźwiękowej w powietrzu metodą rury rezonansowej*. I Pracownia Fizyczna.

Moebs, W., Ling, S. J., and Sanny, J. (2018). *Fizyka dla szkół wyższych, Tom 2*. OpenStax.
Dostęp: 14.04.2024.

Szczeniowski, S. (1972). *Fizyka Doświadczalna Część I*. PWN, Warszawa.

Szydłowski, H. (1999). *Pracownia fizyczna*. PWN, Warszawa.